

# Una Introducción al Control Geométrico Nolineal

Leonardo J. Colombo

Centro de Automática y Robótica (CSIC-UPM)



CENTRO DE AUTOMÁTICA Y ROBÓTICA



# Contenido del Curso Clase II

- 1. Repaso de Mecánica Geométrica**
- 2. Estabilidad de Sistemas Nolineales**
- 3. Control de Sistemas Lagrangianos: aplicación a un brazo robótico**
- 4. Control Geométrico en  $SO(3)$  y  $SE(3)$ : Satélites y Drones**

# Mecánica Geométrica

- ▶ **Raíces:** Smale, Arnold, Souriau y el libro de Abraham y Marsden "Foundations of Mechanics".
- ▶ **Elementos y técnicas:** Uso de elementos y técnicas de geometría diferencial para comprender la dinámica de sistemas no lineales (mecánicos): desde cuerpos rígidos hasta fluidos.
- ▶ **Interés:** Estudiar las **simetrías** (y por tanto las cantidades conservadas), que suelen provenir de un **grupo de Lie**, así como otras cantidades invariantes (geométricas).
- ▶ **Punto de partida:** Función lagrangiana, función hamiltoniana, estructura simpléctica o estructura de Poisson.

$$L = K(q, \dot{q}) - V(q) : TQ \rightarrow \mathbb{R} \text{ o } H = K(q, p) + V(q) : T^*Q \rightarrow \mathbb{R}$$

$Q$  = espacio de configuraciones (posiciones)-variedad diferenciable,  
 $TQ$  =

espacio de velocidades (posiciones + velocidades)-fibrado tangente,

$T^*Q$  = espacio de fases (posiciones + momentos)-fibrado cotangente.

# Ecuaciones de Euler–Lagrange y de Hamilton

- ▶ Sea  $Q$  una variedad diferenciable de dimensión  $n$ , el espacio de configuraciones, con coordenadas locales  $q^i$ .
- ▶  $TQ$  denota el fibrado tangente con coordenadas locales  $(q^i, \dot{q}^i)$ .
- ▶  $T^*Q$  denota el fibrado cotangente con coordenadas locales  $(q^i, p_i)$ .

Dado  $L : TQ \rightarrow \mathbb{R}$ , las **ecuaciones de Euler–Lagrange para  $L$**  son

$$\frac{d}{dt} \left( \frac{\partial L}{\partial \dot{q}^i} \right) - \frac{\partial L}{\partial q^i} = 0.$$

Dado  $H : T^*Q \rightarrow \mathbb{R}$ , las **ecuaciones de Hamilton para  $H$**  son

$$\dot{q}^i = \frac{\partial H}{\partial p_i}, \quad p_i = -\frac{\partial H}{\partial \dot{q}^i}.$$

Si  $L$  induce un difeomorfismo (i.e.,  $L$  es *hiperregular*), entonces ambas dinámicas son equivalentes mediante la **transformación de Legendre**  $\mathbb{F}L : TQ \rightarrow T^*Q$ ,  $(q^i, \dot{q}^i) \mapsto (q^i, p_i = \frac{\partial L}{\partial \dot{q}^i})$ .

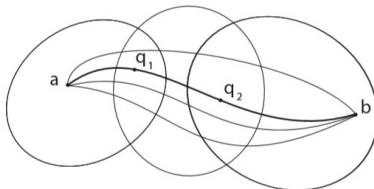
## Principio de acción estacionaria de Hamilton

**Motivación:** Queremos derivar la dinámica del sistema a partir de la información sobre su energía. Para ello, construimos un **Lagrangiano**  $L : TQ \rightarrow \mathbb{R}$ , definido como  $L := K - U$ .

# Principio de acción estacionaria de Hamilton

**Motivación:** Queremos derivar la dinámica del sistema a partir de la información sobre su energía. Para ello, construimos un **Lagrangiano**  $L : TQ \rightarrow \mathbb{R}$ , definido como  $L := K - U$ .

- ▶ Para una curva suave  $q(t)$ , definimos una **deformación de  $q$  con extremos fijos  $q(a)$  y  $q(b)$**  como la familia suave  $q_\epsilon(t)$  que satisface:
  - ▶  $q_0(t) = q(t)$  para todo  $t$ .
  - ▶  $q_\epsilon(a) = q(a)$  y  $q_\epsilon(b) = q(b)$  para todo  $\epsilon$ .
- ▶ Definimos la **variación de  $q$  con respecto a  $q_\epsilon$**  como  $\delta q(t) = \frac{\partial}{\partial \epsilon} q_\epsilon(t) \Big|_{\epsilon=0}$ .



## Principio de acción estacionaria de Hamilton

En ausencia de fuerzas externas no conservativas, la dinámica de un sistema con Lagrangiano  $L$  debe satisfacer  $\delta \int L(q, \dot{q}) dt = 0$ , donde  $\delta$  denota la **primera variación** con respecto a  $q_\epsilon$ , una familia de **deformaciones** de  $q$ , parametrizada por  $\epsilon$ , con extremos fijos.

# Principio de acción estacionaria de Hamilton

En ausencia de fuerzas externas no conservativas, la dinámica de un sistema con Lagrangiano  $L$  debe satisfacer  $\delta \int L(q, \dot{q}) dt = 0$ , donde  $\delta$  denota la **primera variación** con respecto a  $q_\epsilon$ , una familia de **deformaciones** de  $q$ , parametrizada por  $\epsilon$ , con extremos fijos.

## Theorem

*Dado un Lagrangiano  $L: TQ \rightarrow \mathbb{R}$ , un intervalo de tiempo  $[0, T]$  y dos puntos  $q_0, q_T \in Q$ , consideremos el espacio  $\mathcal{C}$  de curvas  $C^2$   $q: [0, T] \rightarrow Q$  tales que  $q(0) = q_0$ ,  $q(T) = q_T$ . Una trayectoria del sistema descrito por  $L$  es un punto crítico del funcional de acción  $\mathcal{S}: \mathcal{C} \rightarrow \mathbb{R}$ ,*

$$\mathcal{S}[q] = \int_0^T L(q(t), \dot{q}(t)) dt.$$

*Esto da lugar a las ecuaciones de Euler–Lagrange:*

$$\frac{d}{dt} \frac{\partial L}{\partial \dot{q}} - \frac{\partial L}{\partial q} = 0.$$

*Los extremos fijos  $q(0) = q_0$ ,  $q(T) = q_T$  se convierten en condiciones de contorno.*

## Ejemplo: Partícula en caída (unidimensional)

$$L(x, \dot{x}) = \text{energía cinética} - \text{energía potencial} = \frac{1}{2}m\dot{x}^2 - mgx$$

Ecuación de Euler–Lagrange:

$$0 = \frac{d}{dt} \frac{\partial L}{\partial \dot{x}} - \frac{\partial L}{\partial x} = \frac{d}{dt}(m\dot{x}) + mg,$$

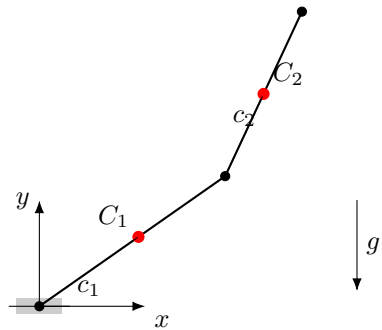
es decir,

$$-mg = m\ddot{x} \quad (\text{esto es } F = ma).$$

En este caso, puede resolverse exactamente  $x(t) = -\frac{1}{2}gt^2 + at + b$ , pero en general se requiere una solución numérica.

## Ejemplo: Manipulador plano de 2 eslabones (2R)

Sea  $q = (q_1, q_2)$  el vector de coordenadas generalizadas. El robot consta de dos eslabones con longitudes  $l_1, l_2$ , masas  $m_1, m_2$ , centros de masa a distancias  $c_1, c_2$  e inercias  $I_1, I_2$ .



## Ejemplo: Manipulador plano de 2 eslabones (2R)

La energía cinética total se escribe como

$$K = \frac{1}{2}a(q_2)\dot{q}_1^2 + b(q_2)\dot{q}_1\dot{q}_2 + \frac{1}{2}c\dot{q}_2^2,$$

donde

$$a = I_1 + I_2 + m_1c_1^2 + m_2(l_1^2 + c_2^2 + 2l_1c_2 \cos q_2),$$

$$b = I_2 + m_2(c_2^2 + l_1c_2 \cos q_2),$$

$$c = I_2 + m_2c_2^2.$$

La energía potencial bajo gravedad es

$$V = m_1gc_1 \sin q_1 + m_2g(l_1 \sin q_1 + c_2 \sin(q_1 + q_2)).$$

El lagrangiano es  $L(q, \dot{q}) = K(q, \dot{q}) - V(q)$ .

# Ecuaciones de Euler–Lagrange

Las ecuaciones del movimiento se obtienen de

$$\frac{d}{dt} \left( \frac{\partial L}{\partial \dot{q}_i} \right) - \frac{\partial L}{\partial q_i} = 0, \quad i = 1, 2.$$

Estas pueden escribirse en la forma matricial clásica:

$$M(q)\ddot{q} + C(q, \dot{q})\dot{q} + G(q) = 0,$$

donde

$$M(q) = \begin{pmatrix} a(q_2) & b(q_2) \\ b(q_2) & c \end{pmatrix}.$$

El término de Coriolis y centrífugos es

$$C(q, \dot{q})\dot{q} = \begin{pmatrix} -m_2 l_1 c_2 \sin q_2 (2\dot{q}_1 \dot{q}_2 + \dot{q}_2^2) \\ m_2 l_1 c_2 \sin q_2 \dot{q}_1^2 \end{pmatrix},$$

y el vector de gravedad:

$$G(q) = \begin{pmatrix} (m_1 c_1 + m_2 l_1)g \sin q_1 + m_2 g c_2 \sin(q_1 + q_2) \\ m_2 g c_2 \sin(q_1 + q_2) \end{pmatrix}.$$

## Interpretación geométrica

Para un manipulador 2R,  $Q = S^1 \times S^1$  es un grupo de Lie, y la matriz de inercia  $M(q)$  induce una métrica riemanniana sobre  $Q$ .

Las ecuaciones de Euler–Lagrange pueden escribirse como

$$\ddot{q}^i + \Gamma_{jk}^i(q)\dot{q}^j\dot{q}^k + M^{ij}(q)\frac{\partial V}{\partial q^j} = 0,$$

donde  $\Gamma_{jk}^i$  son los símbolos de Christoffel asociados a la métrica cinética  $M(q)$ .

Esta formulación muestra que la dinámica corresponde a una geodésica forzada en  $(Q, M)$ , con fuerzas derivadas del potencial  $V$ .

# Sistemas Lagrangianos mecánicos

## Sistemas Lagrangianos mecánicos

Considérese la función lagrangiana  $L : \mathbb{R}^n \times \mathbb{R}^n \rightarrow \mathbb{R}$  dada por sus energías cinética y potencial,  $L(q, \dot{q}) = K(q, \dot{q}) - V(q)$ , donde  $q \in \mathbb{R}^n$  son coordenadas generalizadas,  $K : \mathbb{R}^n \times \mathbb{R}^n \rightarrow \mathbb{R}$  es la energía cinética y  $V : \mathbb{R}^n \rightarrow \mathbb{R}$  la energía potencial.

Las ecuaciones de Euler–Lagrange para  $L$  son:

$$\frac{d}{dt} \left( \frac{\partial L}{\partial \dot{q}} \right) - \frac{\partial L}{\partial q} = 0$$

Esto induce un sistema de  $n$  EDO de segundo orden:

$$H(q)\ddot{q} + C(q, \dot{q})\dot{q} + g(q) = 0$$

donde:

- ▶  $H(q) \in \mathbb{R}^{n \times n}$  es la *matriz de inercia*,
- ▶  $C(q, \dot{q})\dot{q} \in \mathbb{R}^n$  es el término (matricial) de Coriolis,
- ▶  $g(q) = \frac{\partial V}{\partial q} \in \mathbb{R}^n$  es el término gravitacional.

## Seguimiento de trayectorias para sistemas Lagrangianos

Supongamos que el sistema está completamente actuado ( $n$  controles).

Las ecuaciones de Euler–Lagrange controladas vienen dadas por:

$$H(q)\ddot{q} + C(q, \dot{q})\dot{q} + g(q) = \tau$$

donde  $\tau \in \mathbb{R}^n$  son las entradas de control.

La forma habitual de alcanzar una trayectoria deseada para un sistema Lagrangiano es usar control por realimentación (feedback) para seguir un camino objetivo ( $q_d, \dot{q}_d$ ).

Definimos la ley de control por realimentación:

$$\tau = H(q)\ddot{q}_d + C(q, \dot{q})\dot{q}_d + g(q) - K_p e - K_d \dot{e}$$

donde las señales de error son:

$$e = q - q_d, \quad \dot{e} = \dot{q} - \dot{q}_d$$

y  $K_p, K_d$  son matrices de ganancia definidas positivas.

## Punto de equilibrio

Un **punto de equilibrio** de un sistema dinámico autónomo

$$\dot{x} = f(x)$$

es un punto  $x^*$  tal que

$$f(x^*) = 0.$$

Si la solución comienza en  $x^*$ , entonces  $x(t) = x^*$  para todo  $t$ .

**Ejemplo.** Considere el sistema no lineal

$$\dot{x} = x - x^3.$$

Los puntos de equilibrio satisfacen  $x - x^3 = 0$ , es decir:

$$x^* \in \{-1, 0, 1\}.$$

## Dinámica del error y punto de equilibrio

Recordemos las señales de error:

$$e = q - q_d, \quad \dot{e} = \dot{q} - \dot{q}_d, \quad \ddot{e} = \ddot{q} - \ddot{q}_d.$$

Sustituyendo la ley de control

$$\tau = H(q)\ddot{q}_d + C(q, \dot{q})\dot{q}_d + g(q) - K_p e - K_d \dot{e}$$

en las ecuaciones de Euler–Lagrange controladas

$$H(q)\ddot{q} + C(q, \dot{q})\dot{q} + g(q) = \tau,$$

obtenemos la dinámica del error:

$$H(q)\ddot{e} + C(q, \dot{q})\dot{e} + K_d \dot{e} + K_p e = 0.$$

En el equilibrio se cumple  $\dot{e} = 0$  y  $\ddot{e} = 0$ , luego:  $K_p e = 0 \Rightarrow e = 0$  (dados que  $K_p$  es definida positiva). Por tanto, el punto de equilibrio de la dinámica del error es:  $e = 0, \dot{e} = 0$ .

Este equilibrio describe **seguimiento perfecto de la trayectoria** y será el candidato a estudiar con técnicas de estabilidad (por ejemplo, Lyapunov) para analizar la **convergencia del error**.

# Estabilidad de sistemas no lineales

# Estabilidad de sistemas no lineales

Consideremos el sistema autónomo

$$\dot{x} = f(x), \quad f : \mathbb{R}^d \rightarrow \mathbb{R}^d \quad (1)$$

con un **punto de equilibrio** en el origen:  $f(0) = 0$ .

**Definiciones** (alrededor de  $x = 0$ ):

- ▶ **Estable (de Lyapunov):** Para todo  $\varepsilon > 0$  existe  $\delta > 0$  tal que  $\|x(0)\| < \delta \Rightarrow \|x(t)\| < \varepsilon, \forall t \geq 0$ .
- ▶ **Asintóticamente estable:** Estable y, además,

$$\|x(0)\| < \delta \Rightarrow \lim_{t \rightarrow \infty} x(t) = 0. \quad (2)$$

- ▶ **Exponencialmente estable:** Existen  $c, \lambda > 0$  tales que

$$\|x(t)\| \leq c e^{-\lambda t} \|x(0)\|, \quad \forall t \geq 0. \quad (3)$$

- ▶ **Inestable:** No es estable.

## Función candidata de Lyapunov

En sistemas no lineales *no* siempre tenemos soluciones en forma cerrada; Lyapunov permite inferir el comportamiento asintótico sin resolver explícitamente  $\dot{x} = f(x)$ .

Sea  $D \subset \mathbb{R}^d$  un dominio que contiene al origen. Una función  $V : D \rightarrow \mathbb{R}$  es una función **candidata de Lyapunov** si:

$$V(0) = 0, \quad V(x) > 0 \quad \forall x \in D \setminus \{0\}, \quad (4)$$

$$\dot{V}(x) := \nabla V(x)^\top f(x) \leq 0 \quad \forall x \in D. \quad (5)$$

**Teorema (Lyapunov directo):**

- ▶ Si (4) y (5) valen, entonces  $x = 0$  es **estable**.
- ▶ Si además  $\dot{V}(x) < 0$  para todo  $x \neq 0$ , entonces  $x = 0$  es **asintóticamente estable**.

## Ejemplo: péndulo simple sin fricción

Consideremos el péndulo simple sin fricción:

$$\dot{\theta} = \omega, \quad \dot{\omega} = -\frac{g}{\ell} \sin \theta,$$

con estado  $x = (\theta, \omega)^\top$ . Los puntos de equilibrio son

$$(\theta, \omega) = (0, 0), \quad (\pi, 0), \quad (\pm 2\pi, 0), \dots$$

Tomamos como candidata de Lyapunov la energía mecánica

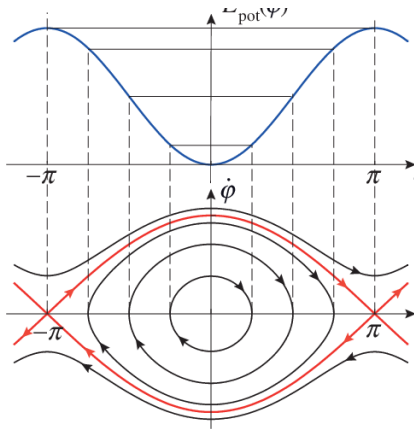
$$V(\theta, \omega) = \frac{1}{2}\omega^2 + \frac{g}{\ell}(1 - \cos \theta).$$

- ▶  $V(0, 0) = 0$  y  $V(\theta, \omega) > 0$  si  $(\theta, \omega) \neq (0, 0)$  (definida positiva en un entorno de  $(0, 0)$ ).
- ▶ A lo largo de las soluciones:

$$\dot{V} = \nabla V^\top f = \omega \dot{\omega} + \frac{g}{\ell} \sin \theta \dot{\theta} = \omega \left( -\frac{g}{\ell} \sin \theta \right) + \frac{g}{\ell} \sin \theta \omega = 0.$$

⇒ Por Lyapunov directo,  $(0, 0)$  es estable, pero como  $\dot{V} \equiv 0$  (el sistema no es disipativo), el equilibrio **no es asintóticamente estable**.

## Péndulo no amortiguado: potencial y retrato de fases



**Figura:** Potencial  $V(\theta) = 1 - \cos \theta$  y retrato de fases del péndulo simple sin amortiguamiento. Las órbitas cerradas corresponden a oscilaciones alrededor de los mínimos del potencial, mientras que las trayectorias abiertas representan rotaciones. El equilibrio  $(0, 0)$  es estable (en el sentido de Lyapunov), pero no asintóticamente estable.

# Por qué Lyapunov no basta en el péndulo con fricción

Consideremos el péndulo con fricción viscosa:

$$\dot{\theta} = \omega, \quad \dot{\omega} = -\frac{g}{\ell} \sin \theta - k\omega, \quad k > 0.$$

Tomamos como función candidata la energía mecánica

$$V(\theta, \omega) = \frac{1}{2}\omega^2 + \frac{g}{\ell}(1 - \cos \theta).$$

Su derivada a lo largo de las soluciones es  $\dot{V} = -k\omega^2 \leq 0$ .

- ▶  $V$  es **definida positiva**.
- ▶ Pero  $\dot{V}$  es solo **semidefinida negativa** (no estrictamente negativa).

$$\dot{V} = 0 \quad \text{si y solo si} \quad \omega = 0.$$

**Problema:** Lyapunov directo *no* garantiza estabilidad asintótica cuando  $\dot{V}(x)$  puede ser cero en más puntos que el equilibrio.

Aquí, el conjunto

$$E = \{(\theta, \omega) : \dot{V} = 0\} = \{(\theta, 0)\}$$

es una *línea entera de puntos*, no solo el equilibrio.

**Conclusión:** Para decidir si las trayectorias realmente convergen a  $(0, 0)$ , debemos analizar el *conjunto invariante* dentro de  $E$ .

Esto nos lleva al **Principio de Invarianza de LaSalle**.

# Principio de invarianza de LaSalle

## Theorem (Invarianza de LaSalle)

Sea el sistema autónomo  $\dot{x} = f(x)$ ,  $f : \mathbb{R}^n \rightarrow \mathbb{R}^n$  continua, y sea  $V : \mathbb{R}^n \rightarrow \mathbb{R}$  una función continuamente diferenciable tal que

$$\dot{V}(x) = \nabla V(x) \cdot f(x) \leq 0$$

en un conjunto **positivamente invariante**  $\Omega$  (toda trayectoria que empieza en  $\Omega$  permanece en  $\Omega$ ).

Definamos el conjunto donde la disipación desaparece:

$$E = \{x \in \Omega : \dot{V}(x) = 0\}.$$

Sea  $M$  el **máximo conjunto invariante** contenido en  $E$ .

Entonces, toda trayectoria  $x(t)$  que comienza en  $\Omega$  satisface

$$x(t) \rightarrow M \text{ cuando } t \rightarrow \infty.$$

En particular, si  $M = \{0\}$ , entonces el origen es **asintóticamente estable**.

# Ejemplo: péndulo con fricción viscosa

Péndulo con amortiguamiento:

$$\dot{\theta} = \omega, \quad \dot{\omega} = -\frac{g}{\ell} \sin \theta - k\omega, \quad k > 0.$$

Tomamos como función de Lyapunov la energía mecánica:

$$V(\theta, \omega) = \frac{1}{2}\omega^2 + \frac{g}{\ell}(1 - \cos \theta).$$

Su derivada a lo largo de las trayectorias es:

$$\dot{V} = \omega \dot{\omega} + \frac{g}{\ell} \sin \theta \dot{\theta} = -k \omega^2 \leq 0.$$

►  $V$  es definida positiva en un entorno del equilibrio  $(0, 0)$ .

► Pero  $\dot{V}$  es sólo **semidefinida**:

$$\dot{V} = 0 \iff \omega = 0,$$

es decir, **una línea entera de puntos**, no solo el equilibrio.

► El conjunto donde no hay disipación es

$$E = \{(\theta, \omega) : \omega = 0\}.$$

El único punto **invariante** en  $E$  es el equilibrio  $(0, 0)$ .

Por el **principio de invarianza de LaSalle**,

$$(\theta(t), \omega(t)) \rightarrow (0, 0),$$

y el péndulo amortiguado es **asintóticamente estable**.

## ¿Por qué el único punto invariante en $E$ es el equilibrio?

Recordemos que

$$E = \{(\theta, \omega) : \omega = 0\}$$

es el conjunto donde  $\dot{V} = 0$ .

Tomemos un punto de  $E$ :  $(\theta_0, 0)$ . Entonces:

$$\dot{\theta} = 0, \quad \dot{\omega} = -\frac{g}{\ell} \sin \theta_0.$$

- ▶ Si  $\sin \theta_0 \neq 0$ , entonces  $\dot{\omega} \neq 0$  y la trayectoria **sale inmediatamente de  $E$** .  $\Rightarrow$  no es un punto invariante.
- ▶ Si  $\sin \theta_0 = 0$ , entonces  $\theta_0 = k\pi$ . Los únicos puntos que permanecen en  $E$  son

$$(\theta, \omega) = (k\pi, 0).$$

- ▶ Entre ellos, el **mínimo de energía** es  $(0, 0)$ , que es el **único punto invariante relevante** para LaSalle en esta región.

Por el **principio de invarianza de LaSalle**:

$$(\theta(t), \omega(t)) \rightarrow (0, 0).$$

## Resumen

### Lyapunov directo:

- ▶ Si  $\dot{V}(x) < 0$  para todo  $x \neq 0$ , entonces estabilidad **asintótica**.
- ▶ Si  $\dot{V}$  solo cumple  $\dot{V} \leq 0$ , **no** basta para concluir convergencia.

### LaSalle:

- ▶ Busca el conjunto  $E = \{x : \dot{V} = 0\}$ .
- ▶ Identifica el **máximo conjunto invariante**  $M \subset E$ .
- ▶ Toda trayectoria  $\rightarrow M$ . Si  $M = \{0\}$ , el origen es **asintóticamente estable**.

## Ejemplo simple: estabilidad exponencial

Consideremos el sistema lineal estable:

$$\dot{x} = Ax, \quad A = \begin{pmatrix} -2 & 0 \\ 0 & -3 \end{pmatrix}.$$

Su solución explícita es:  $x(t) = (e^{-2t}x_1(0), e^{-3t}x_2(0))$ , lo cual ya sugiere **convergencia exponencial**.

## Ejemplo simple: estabilidad exponencial

Consideremos el sistema lineal estable:

$$\dot{x} = Ax, \quad A = \begin{pmatrix} -2 & 0 \\ 0 & -3 \end{pmatrix}.$$

Su solución explícita es:  $x(t) = (e^{-2t}x_1(0), e^{-3t}x_2(0))$ , lo cual ya sugiere **convergencia exponencial**.

**Usando Lyapunov:** Tomemos la función:

$$V(x) = x^\top x = x_1^2 + x_2^2.$$

Entonces:

$$\dot{V} = 2x^\top \dot{x} = 2x^\top Ax = -4x_1^2 - 6x_2^2.$$

**Cotas cuadráticas:**

$$2V(x) = 2(x_1^2 + x_2^2) \leq 4x_1^2 + 6x_2^2 = -\dot{V}.$$

De aquí obtenemos:  $\dot{V} \leq -2V$ .

## Demostración de estabilidad exponencial

De la desigualdad obtenida:  $\dot{V} \leq -2V$ , podemos integrar para obtener:

$$V(t) \leq V(0)e^{-2t}.$$

Dado que

$$V(x) = \|x\|^2,$$

esto implica:

$$\|x(t)\|^2 \leq \|x(0)\|^2 e^{-2t} \implies \|x(t)\| \leq e^{-t} \|x(0)\|.$$

**Conclusión:** existe  $\lambda = 1$  y  $c = 1$  tales que

$$\|x(t)\| \leq c e^{-\lambda t} \|x(0)\|,$$

lo que demuestra que el origen es **estable exponencialmente**.

## Demostración de estabilidad exponencial

De la desigualdad obtenida:  $\dot{V} \leq -2V$ , podemos integrar para obtener:

$$V(t) \leq V(0)e^{-2t}.$$

Dado que

$$V(x) = \|x\|^2,$$

esto implica:

$$\|x(t)\|^2 \leq \|x(0)\|^2 e^{-2t} \implies \|x(t)\| \leq e^{-t} \|x(0)\|.$$

**Conclusión:** existe  $\lambda = 1$  y  $c = 1$  tales que

$$\|x(t)\| \leq c e^{-\lambda t} \|x(0)\|,$$

lo que demuestra que el origen es **estable exponencialmente**.

► **Criterio:** Si existen constantes  $\alpha_1, \alpha_2, \lambda > 0$  tales que:

$$\alpha_1 \|x\|^2 \leq V(x) \leq \alpha_2 \|x\|^2,$$

y

$$\dot{V}(x) \leq -\lambda V(x) \quad (\text{Grönwall}),$$

entonces la estabilidad es **exponencial**.

# Resumen (I): Mecánica geométrica y sistemas lagrangianos

## Mecánica geométrica

- ▶ Configuraciones:  $Q$  variedad diferenciable (p.ej.  $Q = S^1 \times S^1$  para un 2R).
- ▶ Lagrangiano  $L = K(q, \dot{q}) - V(q) : TQ \rightarrow \mathbb{R}$ .
- ▶ Hamiltoniano  $H = K(q, p) + V(q) : T^*Q \rightarrow \mathbb{R}$ .

## Ecuaciones de movimiento

- ▶ Euler–Lagrange:

$$\frac{d}{dt} \left( \frac{\partial L}{\partial \dot{q}^i} \right) - \frac{\partial L}{\partial q^i} = 0.$$

- ▶ Hamilton:

$$\dot{q}^i = \frac{\partial H}{\partial p_i}, \quad \dot{p}_i = -\frac{\partial H}{\partial q^i}.$$

- ▶ Si  $L$  es hiperregular  $\Rightarrow$  equivalencia vía transformación de Legendre.

## Ejemplos

- ▶ Partícula en caída libre: recuperamos  $m\ddot{x} = -mg$ .
- ▶ Manipulador plano 2R: dinámica

$$M(q)\ddot{q} + C(q, \dot{q})\dot{q} + G(q) = 0,$$

con interpretación geométrica como geodésicas forzadas en  $(Q, M)$ .

## Resumen (II): Estabilidad, Lyapunov y LaSalle

### Estabilidad de Lyapunov

- ▶ Sistema autónomo  $\dot{x} = f(x)$ , equilibrio en  $x = 0$ .
- ▶ Estable, asintóticamente estable, exponencialmente estable.
- ▶ Función candidata  $V(x)$ :

$$V(0) = 0, \quad V(x) > 0, \quad \dot{V}(x) = \nabla V^\top f(x) \leq 0.$$

- ▶ Lyapunov directo:
  - ▶  $\dot{V} \leq 0 \Rightarrow$  estabilidad.
  - ▶  $\dot{V} < 0$  para  $x \neq 0 \Rightarrow$  estabilidad asintótica.

### Limitación y Principio de LaSalle

- ▶ Si  $\dot{V}$  solo es semidefinida ( $\dot{V} = 0$  en un conjunto grande), Lyapunov no basta para concluir convergencia.
- ▶ LaSalle:

$$E = \{x : \dot{V}(x) = 0\}, \quad M = \text{máximo conjunto invariante en } E.$$

Toda trayectoria que permanece en  $\Omega$  converge a  $M$ .

- ▶ Si  $M = \{0\}$ , el equilibrio es asintóticamente estable.

## Modelo dinámico (Ecuaciones de Euler–Lagrange)

## Modelo dinámico (Ecuaciones de Euler–Lagrange)

La dinámica de un sistema Lagrangiano totalmente actuado es

$$H(q) \ddot{q} + C(q, \dot{q}) \dot{q} + g(q) = \tau, \quad (6)$$

donde:

- ▶  $q \in \mathbb{R}^n$  son las coordenadas generalizadas,
- ▶  $H(q)$  es la matriz de inercia (*simétrica y definida positiva*),
- ▶  $C(q, \dot{q}) \dot{q}$  agrupa términos centrífugos y de Coriolis,
- ▶  $g(q)$  son las fuerzas gravitatorias,
- ▶  $\tau \in \mathbb{R}^n$  es el vector de controles.

## Control por *realimentación*

Dada una trayectoria deseada  $q_d(t)$  diferenciable, el control

$$\tau = H(q) \ddot{q}_d + C(q, \dot{q}) \dot{q}_d + g(q) \quad (7)$$

anula la dinámica si  $q = q_d$ ,  $\dot{q} = \dot{q}_d$  y  $\ddot{q} = \ddot{q}_d$ .

**Observación:** El control (7) **no corrige** errores iniciales ni de modelo; en general, no garantiza seguimiento cuando  $q(0) \neq q_d(0)$  o si el sistema tiene incertidumbres.

## Errores y ley PD con realimentación

Definimos los errores

$$e := q - q_d, \quad \dot{e} := \dot{q} - \dot{q}_d, \quad \ddot{e} := \ddot{q} - \ddot{q}_d. \quad (8)$$

La ley clásica **PD con compensación** (computed torque) es

$$\boxed{\tau = H(q) (\ddot{q}_d - K_d \dot{e} - K_p e) + C(q, \dot{q}) \dot{q} + g(q)}, \quad (9)$$

con  $K_p, K_d \in \mathbb{R}^{n \times n}$  **definidas positivas**.

Equivalentemente:

$$\tau = H(q) \ddot{q}_d + C(q, \dot{q}) \dot{q} + g(q) - H(q) (K_d \dot{e} + K_p e). \quad (10)$$

## Dinámica del error

Sustituyendo (9) en (6) se obtiene “la dinámica cerrada en el error”:

$$H(q) \ddot{e} + C(q, \dot{q}) \dot{e} + K_d \dot{e} + K_p e = 0. \quad (11)$$

**Si**  $H$  es definida positiva y  $K_p, K_d$  son definidas positivas, el sistema es **estable asintóticamente**. Además, con elecciones adecuadas de  $K_p, K_d$  se obtiene **convergencia exponencial**.

## Prueba vía Lyapunov

Considérese la función de Lyapunov

$$V(e, \dot{e}) = \frac{1}{2} \dot{e}^\top H(q) \dot{e} + \frac{1}{2} e^\top K_p e. \quad (12)$$

Usando que  $\dot{H} - 2C$  es antisimétrica, se tiene

$$\dot{V} = \dot{e}^\top H \ddot{e} + \frac{1}{2} \dot{e}^\top \dot{H} \dot{e} + e^\top K_p \dot{e} \quad (13)$$

$$= \dot{e}^\top (-C \dot{e} - K_d \dot{e} - K_p e) + \frac{1}{2} \dot{e}^\top \dot{H} \dot{e} + e^\top K_p \dot{e} \quad (14)$$

$$= -\dot{e}^\top K_d \dot{e} \leq 0. \quad (15)$$

Por LaSalle, todas las trayectorias con errores acotados convergen al mayor conjunto invariante en  $\{\dot{e} : \dot{V} = 0\}$ , que implica  $\dot{e} \rightarrow 0$  y, por (11), también  $e \rightarrow 0$ .

## Caso especial: control PD gravitacionalmente compensado

En algunas aplicaciones se usa la versión:

$$\tau = -K_d \dot{e} - K_p e + C(q, \dot{q}) \dot{q} + g(q), \quad (16)$$

que corresponde al caso *regulación* ( $\ddot{q}_d \equiv 0$ ).

Con  $K_p, K_d > 0$ , el equilibrio es **asintóticamente estable**.



Murray, Richard M., Zexiang Li, and S. Shankar Sastry. A mathematical introduction to robotic manipulation. CRC press, 2017.

## Resumen práctico

- ▶ El control (7) realiza seguimiento sólo con modelo perfecto en iguales condiciones iniciales: no corrige error.
- ▶ El término de **realimentación** en (9):

$$- H(q) (K_d \dot{e} + K_p e), \quad (17)$$

genera una dinámica de error bien condicionada y estable.

- ▶ La prueba de estabilidad usa  $V$  en (12) y da  $\dot{V} = -\dot{e}^\top K_d \dot{e} \leq 0$ , implicando **estabilidad asintótica (incluso exponencial)** para ganancias adecuadas.

## Ejemplo: manipulador planar de 2 eslabones

Consideremos un manipulador planar con dos articulaciones rotacionales y coordenadas articulares  $q = (q_1, q_2)^\top$ . Cada eslabón posee longitudes  $l_1, l_2$ , masas  $m_1, m_2$ , centros de masa a distancias  $l_{c1}, l_{c2}$ , e inercias  $I_1, I_2$  respecto a los ejes que atraviesan dichos centros.

## Ejemplo: manipulador planar de 2 eslabones

Consideremos un manipulador planar con dos articulaciones rotacionales y coordenadas articulares  $q = (q_1, q_2)^\top$ . Cada eslabón posee longitudes  $l_1, l_2$ , masas  $m_1, m_2$ , centros de masa a distancias  $l_{c1}, l_{c2}$ , e inercias  $I_1, I_2$  respecto a los ejes que atraviesan dichos centros.

## Ejemplo: manipulador planar de 2 eslabones

Consideremos un manipulador planar con dos articulaciones rotacionales y coordenadas articulares  $q = (q_1, q_2)^\top$ . Cada eslabón posee longitudes  $l_1, l_2$ , masas  $m_1, m_2$ , centros de masa a distancias  $l_{c1}, l_{c2}$ , e inercias  $I_1, I_2$  respecto a los ejes que atraviesan dichos centros.

El modelo dinámico lagrangiano se expresa como:

$$H(q) \ddot{q} + C(q, \dot{q}) \dot{q} + g(q) = \tau,$$

donde  $H(q)$  es la matriz de inercia (simétrica definida positiva),  $C(q, \dot{q})\dot{q}$  contiene los términos de Coriolis y centrífugos,  $g(q)$  representa la gravedad, y  $\tau \in \mathbb{R}^2$  son los torques articulares.

## Ejemplo: manipulador planar de 2 eslabones

Consideremos un manipulador planar con dos articulaciones rotacionales y coordenadas articulares  $q = (q_1, q_2)^\top$ . Cada eslabón posee longitudes  $l_1, l_2$ , masas  $m_1, m_2$ , centros de masa a distancias  $l_{c1}, l_{c2}$ , e inercias  $I_1, I_2$  respecto a los ejes que atraviesan dichos centros.

El modelo dinámico lagrangiano se expresa como:

$$H(q) \ddot{q} + C(q, \dot{q}) \dot{q} + g(q) = \tau,$$

donde  $H(q)$  es la matriz de inercia (simétrica definida positiva),  $C(q, \dot{q})\dot{q}$  contiene los términos de Coriolis y centrífugos,  $g(q)$  representa la gravedad, y  $\tau \in \mathbb{R}^2$  son los torques articulares.

### Matrices del modelo:

$$H(q) = \begin{bmatrix} h_{11} & h_{12} \\ h_{12} & h_{22} \end{bmatrix}, \quad C(q, \dot{q})\dot{q} = \begin{bmatrix} -h\dot{q}_2 & -h(\dot{q}_1 + \dot{q}_2) \\ h\dot{q}_1 & 0 \end{bmatrix} \begin{bmatrix} \dot{q}_1 \\ \dot{q}_2 \end{bmatrix},$$

con  $h = m_2 l_1 l_{c2} \sin q_2$  y

$$h_{11} = I_1 + I_2 + m_1 l_{c1}^2 + m_2 (l_1^2 + l_{c2}^2 + 2l_1 l_{c2} \cos q_2),$$

$$h_{12} = I_2 + m_2 (l_{c2}^2 + l_1 l_{c2} \cos q_2), \quad h_{22} = I_2 + m_2 l_{c2}^2.$$

# Estabilidad exponencial en el manipulador 2R

Partimos del sistema en lazo cerrado de error:

$$H(q) \ddot{e} + C(q, \dot{q}) \dot{e} + K_d \dot{e} + K_p e = 0.$$

Tomamos la función de Lyapunov

$$V(e, \dot{e}) = \frac{1}{2} \dot{e}^\top H(q) \dot{e} + \frac{1}{2} e^\top K_p e.$$

Calculemos su derivada:

$$\dot{V} = \frac{1}{2} \dot{e}^\top \dot{H}(q) \dot{e} + \dot{e}^\top H(q) \ddot{e} + \frac{1}{2} e^\top K_p \dot{e} + \frac{1}{2} \dot{e}^\top K_p e.$$

Sustituimos la dinámica de error:

$$H(q) \ddot{e} = -C(q, \dot{q}) \dot{e} - K_d \dot{e} - K_p e.$$

Entonces:

$$\dot{V} = \frac{1}{2} \dot{e}^\top \dot{H} \dot{e} - \dot{e}^\top C \dot{e} - \dot{e}^\top K_d \dot{e} - \dot{e}^\top K_p e + e^\top K_p \dot{e}.$$

## Cálculo final del signo de $\dot{V}$ y estabilidad exponencial

Observemos que

$$\dot{e}^\top K_p e = e^\top K_p \dot{e},$$

por lo que estos términos se cancelan exactamente.

Queda entonces:

$$\dot{V} = \frac{1}{2} \dot{e}^\top \dot{H} \dot{e} - \dot{e}^\top C \dot{e} - \dot{e}^\top K_d \dot{e}.$$

Usamos la propiedad de los sistemas Lagrangianos:

$$\dot{H}(q) - 2C(q, \dot{q}) \text{ es antisimétrica.}$$

Por tanto:

$$\dot{e}^\top (\dot{H} - 2C) \dot{e} = 0,$$

lo que implica la cancelación del primer y segundo término:

$$\frac{1}{2} \dot{e}^\top \dot{H} \dot{e} - \dot{e}^\top C \dot{e} = 0.$$

## Cálculo final del signo de $\dot{V}$ y estabilidad exponencial

Así,

$$\boxed{\dot{V} = -\dot{e}^\top K_d \dot{e} \leq 0.}$$

Como  $K_d > 0$ :

$$\dot{V} \leq -\lambda_{\min}(K_d) \|\dot{e}\|^2.$$

Usando las cotas cuadráticas de  $V$ :

$$\alpha_1 \|(e, \dot{e})\|^2 \leq V \leq \alpha_2 \|(e, \dot{e})\|^2,$$

obtenemos:

$$\|(e(t), \dot{e}(t))\| \leq c e^{-\lambda t} \|(e(0), \dot{e}(0))\|.$$

El error del manipulador 2R converge exponencialmente al origen.

# Estabilidad exponencial vía cotas cuadráticas

La función de Lyapunov satisface cotas cuadráticas:

$$\alpha_1 \|(e, \dot{e})\|^2 \leq V(e, \dot{e}) \leq \alpha_2 \|(e, \dot{e})\|^2.$$

De la desigualdad anterior:

$$\dot{V} \leq -\lambda_{\min}(K_d) \|\dot{e}\|^2,$$

y usando la cota inferior:

$$\|\dot{e}\|^2 \geq \frac{1}{\alpha_1} V \Rightarrow \dot{V} \leq -\frac{\lambda_{\min}(K_d)}{\alpha_1} V.$$

Aplicando Grönwall:

$$V(t) \leq V(0) e^{-(\lambda_{\min}(K_d)/\alpha_1)t}.$$

Usando la cota superior de  $V$ :

$$\|(e(t), \dot{e}(t))\| \leq \sqrt{\frac{\alpha_2}{\alpha_1}} e^{-(\lambda_{\min}(K_d)/(2\alpha_1))t} \|(e(0), \dot{e}(0))\|.$$

El error del manipulador 2R converge exponencialmente al origen.

# Resumen (I): modelo lagrangiano y ley de control

## Modelo dinámico Lagrangiano totalmente actuado

$$H(q) \ddot{q} + C(q, \dot{q}) \dot{q} + g(q) = \tau,$$

- ▶  $q \in \mathbb{R}^n$ : coordenadas generalizadas.
- ▶  $H(q)$ : matriz de inercia, simétrica y definida positiva.
- ▶  $C(q, \dot{q})\dot{q}$ : términos de Coriolis y centrífugos.
- ▶  $g(q)$ : gravedad.
- ▶  $\tau$ : torques/entradas de control.

## Control por realimentación (computed torque)

Dada una trayectoria deseada  $q_d(t)$ , definimos los errores:

$$e = q - q_d, \quad \dot{e} = \dot{q} - \dot{q}_d.$$

La ley PD con compensación:

$$\tau = H(q) (\ddot{q}_d - K_d \dot{e} - K_p e) + C(q, \dot{q}) \dot{q} + g(q)$$

- ▶ Anula exactamente la dinámica cuando  $q = q_d$  (modelo perfecto).
- ▶ Añade términos  $K_p e$ ,  $K_d \dot{e}$  para corregir errores de seguimiento.

## Resumen (II): dinámica del error y estabilidad

### Dinámica cerrada del error

$$H(q) \ddot{e} + C(q, \dot{q}) \dot{e} + K_d \dot{e} + K_p e = 0.$$

### Función de Lyapunov

$$V(e, \dot{e}) = \frac{1}{2} \dot{e}^\top H(q) \dot{e} + \frac{1}{2} e^\top K_p e.$$

### Cálculo de $\dot{V}$ (usando $\dot{H} - 2C$ antisimétrica)

$$\dot{V} = -\dot{e}^\top K_d \dot{e} \leq 0.$$

- ▶  $V$  definida positiva y radialmente acotante en  $(e, \dot{e})$ .
- ▶  $\dot{V} \leq 0$  y sólo se anula si  $\dot{e} = 0$ .
- ▶ Por LaSalle:  $(e(t), \dot{e}(t)) \rightarrow (0, 0) \Rightarrow$  **seguimiento asintótico**.
- ▶ Usando cotas cuadráticas de  $V$  y  $\dot{V}$ , se obtiene además

$$\|(e(t), \dot{e}(t))\| \leq c e^{-\lambda t} \|(e(0), \dot{e}(0))\|,$$

es decir, **estabilidad exponencial** del error.

# Isomorfismo entre $\mathfrak{so}(3)$ y $\mathbb{R}^3$

# Isomorfismo entre $\mathfrak{so}(3)$ y $\mathbb{R}^3$

## Identificación clásica

El álgebra de Lie  $\mathfrak{so}(3)$  (matrices  $3 \times 3$  **antisimétricas**) es isomorfa al espacio euclídeo  $\mathbb{R}^3$ .

# Isomorfismo entre $\mathfrak{so}(3)$ y $\mathbb{R}^3$

## Identificación clásica

El álgebra de Lie  $\mathfrak{so}(3)$  (matrices  $3 \times 3$  **antisimétricas**) es isomorfa al espacio euclídeo  $\mathbb{R}^3$ .

Definimos la **aplicación “sombrero”**  $\widehat{(\cdot)} : \mathbb{R}^3 \rightarrow \mathfrak{so}(3)$  como:

$$\hat{x} = \begin{pmatrix} 0 & -x_3 & x_2 \\ x_3 & 0 & -x_1 \\ -x_2 & x_1 & 0 \end{pmatrix}, \quad x = (x_1, x_2, x_3)^\top.$$

# Isomorfismo entre $\mathfrak{so}(3)$ y $\mathbb{R}^3$

## Identificación clásica

El álgebra de Lie  $\mathfrak{so}(3)$  (matrices  $3 \times 3$  **antisimétricas**) es isomorfa al espacio euclídeo  $\mathbb{R}^3$ .

Definimos la **aplicación “sombrero”**  $\widehat{(\cdot)} : \mathbb{R}^3 \rightarrow \mathfrak{so}(3)$  como:

$$\hat{x} = \begin{pmatrix} 0 & -x_3 & x_2 \\ x_3 & 0 & -x_1 \\ -x_2 & x_1 & 0 \end{pmatrix}, \quad x = (x_1, x_2, x_3)^\top.$$

## Propiedades

- ▶ Para todo  $x, y \in \mathbb{R}^3$  se cumple:  $\hat{x}y = x \times y$ .
- ▶ El conmutador de matrices en  $\mathfrak{so}(3)$  corresponde al producto vectorial:  $[\hat{x}, \hat{y}] = \widehat{x \times y}$ .

# Isomorfismo entre $\mathfrak{so}(3)$ y $\mathbb{R}^3$

## Identificación clásica

El álgebra de Lie  $\mathfrak{so}(3)$  (matrices  $3 \times 3$  **antisimétricas**) es isomorfa al espacio euclídeo  $\mathbb{R}^3$ .

Definimos la **aplicación “sombrero”**  $\widehat{(\cdot)} : \mathbb{R}^3 \rightarrow \mathfrak{so}(3)$  como:

$$\hat{x} = \begin{pmatrix} 0 & -x_3 & x_2 \\ x_3 & 0 & -x_1 \\ -x_2 & x_1 & 0 \end{pmatrix}, \quad x = (x_1, x_2, x_3)^\top.$$

## Propiedades

- ▶ Para todo  $x, y \in \mathbb{R}^3$  se cumple:  $\hat{x}y = x \times y$ .
- ▶ El conmutador de matrices en  $\mathfrak{so}(3)$  corresponde al producto vectorial:  $[\hat{x}, \hat{y}] = \widehat{x \times y}$ .

## Aplicación inversa

### La **aplicación “vee”**

$$(\cdot)^\vee : \mathfrak{so}(3) \rightarrow \mathbb{R}^3$$

es la inversa de  $\widehat{(\cdot)}$  y asocia a cada matriz antisimétrica su vector correspondiente.

## Simetrías en Mecánica: el cuerpo rígido

## Simetrías en Mecánica: el cuerpo rígido

Una **simetría** de una función  $F : Q \rightarrow \mathbb{R}$  es una aplicación  $\phi : Q \rightarrow Q$  tal que  $F \circ \phi = F$ .

# Simetrías en Mecánica: el cuerpo rígido

Una **simetría** de una función  $F : Q \rightarrow \mathbb{R}$  es una aplicación  $\phi : Q \rightarrow Q$  tal que  $F \circ \phi = F$ .

**El cuerpo rígido libre:** Consideremos un cuerpo rígido con un punto fijo.

- ▶ **Espacio de configuraciones:** Grupo de rotaciones  $SO(3)$ , donde la configuración se determina mediante una matriz de rotación  $R(t)$ .
- ▶ **Velocidad angular en el cuerpo:**  $\hat{\Omega} = R^{-1} \dot{R} \in \mathfrak{so}(3)$  (traslación a la izquierda de  $\dot{R}$  a la identidad).
- ▶ **Lagrangiano:**  $L(R, \dot{R}) = \frac{1}{2} \text{Tr} \left( \dot{R} \mathbb{J} \dot{R}^T \right)$ , con  $\mathbb{J}$  simétrica y constante.
- ▶ **Dinámica:** Ecuaciones de Euler–Lagrange  $\frac{d}{dt} \left( \frac{\partial L}{\partial \dot{R}} \right) = \frac{\partial L}{\partial R}$

# Simetrías en Mecánica: el cuerpo rígido

Una **simetría** de una función  $F : Q \rightarrow \mathbb{R}$  es una aplicación  $\phi : Q \rightarrow Q$  tal que  $F \circ \phi = F$ .

**El cuerpo rígido libre:** Consideremos un cuerpo rígido con un punto fijo.

- ▶ **Espacio de configuraciones:** Grupo de rotaciones  $SO(3)$ , donde la configuración se determina mediante una matriz de rotación  $R(t)$ .
- ▶ **Velocidad angular en el cuerpo:**  $\hat{\Omega} = R^{-1} \dot{R} \in \mathfrak{so}(3)$  (traslación a la izquierda de  $\dot{R}$  a la identidad).
- ▶ **Lagrangiano:**  $L(R, \dot{R}) = \frac{1}{2} \text{Tr} \left( \dot{R} \mathbb{J} \dot{R}^T \right)$ , con  $\mathbb{J}$  simétrica y constante.
- ▶ **Dinámica:** Ecuaciones de Euler–Lagrange  $\frac{d}{dt} \left( \frac{\partial L}{\partial \dot{R}} \right) = \frac{\partial L}{\partial R} \rightsquigarrow$  interpretación complicada.

# Simetrías en Mecánica: el cuerpo rígido

Una **simetría** de una función  $F : Q \rightarrow \mathbb{R}$  es una aplicación  $\phi : Q \rightarrow Q$  tal que  $F \circ \phi = F$ .

**El cuerpo rígido libre:** Consideremos un cuerpo rígido con un punto fijo.

- ▶ **Espacio de configuraciones:** Grupo de rotaciones  $SO(3)$ , donde la configuración se determina mediante una matriz de rotación  $R(t)$ .
- ▶ **Velocidad angular en el cuerpo:**  $\hat{\Omega} = R^{-1} \dot{R} \in \mathfrak{so}(3)$  (traslación a la izquierda de  $\dot{R}$  a la identidad).
- ▶ **Lagrangiano:**  $L(R, \dot{R}) = \frac{1}{2} \text{Tr} \left( \dot{R} \mathbb{J} \dot{R}^T \right)$ , con  $\mathbb{J}$  simétrica y constante.
- ▶ **Dinámica:** Ecuaciones de Euler–Lagrange  $\frac{d}{dt} \left( \frac{\partial L}{\partial \dot{R}} \right) = \frac{\partial L}{\partial R} \rightsquigarrow$  interpretación complicada.
  1. Solo válida en coordenadas locales sobre  $SO(3)$  (ángulos de Euler).
  2. Se puede considerar  $SO(3) \hookrightarrow \mathbb{R}^9$  y usar multiplicadores de Lagrange para describir el movimiento como un sistema en  $\mathbb{R}^9$  con restricciones holónomas ( $R^T R - I = 0$ ).

## Ecuaciones de Euler–Poincaré para el cuerpo rígido

Aprovechando la simetría del lagrangiano, puede escribirse en términos de la velocidad angular del cuerpo como

$$L(R, \dot{R}) = \frac{1}{2} \text{Tr}(\dot{R} \mathbb{J} \dot{R}^T) = \frac{1}{2} \text{Tr}(\hat{\Omega} \mathbb{J} \hat{\Omega}^T) = \frac{1}{2} \langle \Omega, \mathbb{I} \Omega \rangle.$$

Por lo tanto, tenemos el lagrangiano reducido  $\ell : \mathfrak{so}(3) \rightarrow \mathbb{R}$ ,

$$\ell(\hat{\Omega}) = \frac{1}{2} \text{Tr}(\hat{\Omega} \mathbb{J} \hat{\Omega}^T) = \frac{1}{2} \langle \Omega, \mathbb{I} \Omega \rangle \quad (= L(I, \hat{\Omega})).$$

La dinámica para  $\ell$  se determina mediante el principio variacional (con restricciones) sobre  $\mathfrak{so}(3) \simeq \mathbb{R}^3$ ,

$$\delta \int_a^b \ell(\Omega(t)) dt = 0,$$

para variaciones de la forma  $\delta \Omega = \dot{\Sigma} + \Omega \times \Sigma$  con  $\Sigma \in \mathfrak{so}(3)$  que se anula en los extremos  $t = a$  y  $t = b$ , dando lugar a las **ecuaciones de Euler**

$$\mathbb{I} \dot{\Omega} = \mathbb{I} \Omega \times \Omega.$$

# Ecuaciones de Euler–Poincaré

Sea  $G$  un grupo de Lie,  $L : TG \rightarrow \mathbb{R}$  un lagrangiano **invariante a la izquierda**, y definamos el **lagrangiano reducido**  $\ell : \mathfrak{g} \rightarrow \mathbb{R}$  como  $\ell(\xi) := L(e, \xi)$ , es decir, la restricción de  $L$  a  $\mathfrak{g}$ . Para una curva  $g(t) \in G$ , sea

$$\xi(t) = g^{-1}(t)\dot{g}(t) := T_{g(t)}L_{g(t)^{-1}}\dot{g}(t) \in \mathfrak{g}.$$

El principio variacional

$$\delta \int_a^b \ell(\xi(t)) dt = 0$$

para variaciones de la forma

$$\delta \xi = \dot{\eta} + [\xi, \eta], \quad \eta(t) \in \mathfrak{g}, \quad \eta(a) = \eta(b) = 0,$$

da lugar a las **ecuaciones de Euler–Poincaré**

$$\frac{d}{dt} \left( \frac{\partial \ell}{\partial \xi} \right) = ad_{\xi}^* \frac{\partial \ell}{\partial \xi},$$

donde  $ad^*$  es la acción *coadyunta* del álgebra de Lie sobre su dual:

$$\langle ad_{\xi}^* \mu, \eta \rangle = \langle \mu, [\eta, \xi] \rangle, \quad \xi, \eta \in \mathfrak{g}, \mu \in \mathfrak{g}^*.$$

# Ejemplo: cuerpo rígido libre en $SO(3)$ (Euler–Poincaré)

Tomamos como grupo de configuración

$$G = SO(3), \quad \mathfrak{g} = \mathfrak{so}(3) \simeq \mathbb{R}^3,$$

e identificamos  $\mathfrak{so}(3) \ni \hat{\Omega} \leftrightarrow \Omega \in \mathbb{R}^3$ , donde el corchete se vuelve el producto vectorial:

$$[\Omega, \eta] = \Omega \times \eta.$$

Para una curva  $R(t) \in SO(3)$ , definimos la velocidad angular en el cuerpo como

$$\Omega(t) = R(t)^{-1} \dot{R}(t) \in \mathfrak{so}(3) \simeq \mathbb{R}^3.$$

Consideramos un lagrangiano invariante a la izquierda de la forma

$$L(R, \dot{R}) = \ell(\Omega), \quad \ell(\Omega) = \frac{1}{2} \Omega^\top I \Omega,$$

donde  $I$  es el tensor de inercia en coordenadas del cuerpo. Entonces

$$\frac{\partial \ell}{\partial \Omega} = I\Omega =: M$$

es el **momento angular en el cuerpo**.

Con la identificación  $\mathfrak{g}^* \simeq \mathbb{R}^3$  y el producto escalar usual, la coadyunta viene dada por

$$\text{ad}_\Omega^* M = \Omega \times M.$$

Las ecuaciones de Euler–Poincaré se vuelven:  $\dot{M} = \Omega \times M, \quad M = I\Omega$ .

Es decir, obtenemos las **ecuaciones de Euler del cuerpo rígido**:  $I \dot{\Omega} = \Omega \times (I\Omega)$ .

# Error geométrico en $SO(3)$ y control PD con compensación

**Dinámica (modelo de satélite):**

$$I \dot{\Omega} + \Omega \times (I \Omega) = \tau, \quad R \in SO(3), \quad \dot{R} = R \widehat{\Omega},$$

donde  $I = \text{diag}(I_1, I_2, I_3)$  es el tensor de inercia en el marco del cuerpo,  $\Omega \in \mathbb{R}^3$  la velocidad angular, y  $\tau \in \mathbb{R}^3$  los pares de control (*actuación total* en los tres ejes de cuerpo).

**Seguimiento de actitud:** Dada una referencia  $R_d(t) \in SO(3)$  con  $\Omega_d$  tal que  $\dot{R}_d = R_d \widehat{\Omega}_d$ , definimos el error:

$$R_e := R_d^\top R, \quad e_R := \frac{1}{2} (R_e - R_e^\top)^\vee, \quad e_\Omega := \Omega - R^\top R_d \Omega_d.$$

# Error geométrico en $SO(3)$ y control PD con compensación

## Dinámica (modelo de satélite):

$$I \dot{\Omega} + \Omega \times (I \Omega) = \tau, \quad R \in SO(3), \quad \dot{R} = R \widehat{\Omega},$$

donde  $I = \text{diag}(I_1, I_2, I_3)$  es el tensor de inercia en el marco del cuerpo,  $\Omega \in \mathbb{R}^3$  la velocidad angular, y  $\tau \in \mathbb{R}^3$  los pares de control (*actuación total* en los tres ejes de cuerpo).

**Seguimiento de actitud:** Dada una referencia  $R_d(t) \in SO(3)$  con  $\Omega_d$  tal que  $\dot{R}_d = R_d \widehat{\Omega}_d$ , definimos el error:

$$R_e := R_d^\top R, \quad e_R := \frac{1}{2} (R_e - R_e^\top)^\vee, \quad e_\Omega := \Omega - R^\top R_d \Omega_d.$$

## Control geométrico:

$$\boxed{\tau = -K_R e_R - K_\Omega e_\Omega + \Omega \times (I \Omega) - I(\widehat{\Omega} R^\top R_d \Omega_d - R^\top R_d \dot{\Omega}_d)}$$

con  $K_R, K_\Omega \succ 0$ .

Para regulación ( $R_d$  constante,  $\Omega_d = 0$ ) la ley se reduce a

$$\tau = -K_R e_R - K_\Omega \Omega + \Omega \times (I \Omega).$$

# Función de Lyapunov y (casi) estabilidad global

**Función de configuración:**

$$\psi(R, R_d) = \frac{1}{2} \operatorname{tr}(I - R_d^\top R) \quad (\psi \in [0, 2]), \quad e_R = \frac{1}{2} (R_d^\top R - R^\top R_d)^\vee.$$

**Función de Lyapunov:**

$$V(R, \Omega) = \frac{1}{2} e_\Omega^\top I e_\Omega + k_R \psi(R, R_d), \quad k_R > 0.$$

# Función de Lyapunov y (casi) estabilidad global

## Función de configuración:

$$\psi(R, R_d) = \frac{1}{2} \operatorname{tr}(I - R_d^\top R) \quad (\psi \in [0, 2]), \quad e_R = \frac{1}{2} (R_d^\top R - R^\top R_d)^\vee.$$

## Función de Lyapunov:

$$V(R, \Omega) = \frac{1}{2} e_\Omega^\top I e_\Omega + k_R \psi(R, R_d), \quad k_R > 0.$$

## Derivada a lo largo del lazo cerrado:

$$\dot{V} = -e_\Omega^\top K_\Omega e_\Omega \leq 0,$$

y, usando invarianza de LaSalle,  $(R, \Omega) \rightarrow (R_d, 0)$  salvo un conjunto de medida cero (asociado a la topología de  $SO(3)$ ), lo que proporciona estabilidad casi global para control continuo y tiempo-invariante.

# Función de Lyapunov y (casi) estabilidad global

## Función de configuración:

$$\psi(R, R_d) = \frac{1}{2} \operatorname{tr}(I - R_d^\top R) \quad (\psi \in [0, 2]), \quad e_R = \frac{1}{2} (R_d^\top R - R^\top R_d)^\vee.$$

## Función de Lyapunov:

$$V(R, \Omega) = \frac{1}{2} e_\Omega^\top I e_\Omega + k_R \psi(R, R_d), \quad k_R > 0.$$

## Derivada a lo largo del lazo cerrado:

$$\dot{V} = -e_\Omega^\top K_\Omega e_\Omega \leq 0,$$

y, usando invarianza de LaSalle,  $(R, \Omega) \rightarrow (R_d, 0)$  salvo un conjunto de medida cero (asociado a la topología de  $SO(3)$ ), lo que proporciona **estabilidad casi global** para control continuo y tiempo-invariante.

**Observación topológica:** La ausencia de estabilización global continua en  $SO(3)$  motiva diseños híbridos para lograr globalidad.

# Contractibilidad y obstrucción topológica en $SO(3)$

**Contractibilidad (definición).** Una variedad  $M$  es **contractible** si puede deformarse continuamente a un punto; es decir, si existe una homotopía  $H : M \times [0, 1] \rightarrow M$  tal que:  $H(x, 0) = x$ ,  $H(x, 1) = x_0$  (punto fijo). Si no existe tal homotopía, la variedad tiene **lazos no contráctiles** y topología no trivial.

**En el caso de las rotaciones:**

$$SO(3) = \{R \in \mathbb{R}^{3 \times 3} : R^\top R = I, \det R = 1\}$$

**no es contractible.** La razón geométrica es que una rotación de  $2\pi$  produce la misma orientación física: no se puede “encoger” continuamente la rotación hasta la identidad sin romper la continuidad.

Formalmente,  $SO(3) \simeq \mathbb{RP}^3 = S^3 / \{x \sim -x\}$ , el espacio proyectivo real tridimensional: la esfera  $S^3$  con puntos opuestos identificados.

**Consecuencia para control:** Por resultados de *Brockett* y *Bhat–Bernstein*, no existe un controlador **continuo** y **tiempo-invariante** que estabilice globalmente un único equilibrio en  $SO(3)$ .

Por eso, la regulación continua en actitud sólo puede ser **casi global**.

# Cuaterniones unitarios y la eliminación de la obstrucción

Los cuaterniones unitarios  $S^3 = \{q \in \mathbb{H} : \|q\| = 1\}$  forman una variedad **contractible en dimensión superior**: a diferencia de  $SO(3)$ ,  $S^3$  es **simplemente conexo** y no contiene lazos no contráctiles.

La proyección  $\pi : S^3 \longrightarrow SO(3)$ ,  $q \mapsto R(q)$ , es un **doble recubrimiento**:

$$q \sim -q \Rightarrow R(q) = R(-q).$$

## Significado geométrico:

- ▶ En  $S^3$  las rotaciones no tienen singularidad en  $\pi$  radianes.
- ▶ Toda configuración puede “encogerse” continuamente (contractibilidad).
- ▶ Esto permite diseñar leyes de control **globales** a nivel de representación.

**Pero:** la ambigüedad  $q \sim -q$  implica que un control continuo en  $S^3$  puede no proyectar en uno continuo en  $SO(3)$ .

## Solución práctica:

- ▶ Representar el error de actitud mediante cuaterniones  $\Rightarrow$  sin singularidades.
- ▶ Resolver la ambigüedad de signo mediante **lógica híbrida**.
- ▶ Lograr así **estabilización global** en actitud.

# Modelización de un Drone

# Modelización de un Drone

Empleamos dos sistemas de coordenadas: un **sistema en el cuerpo** y un **sistema inercial (espacial)**.

- ▶ La **posición** del drone se describe mediante un punto  $x \in \mathbb{R}^3$  en el sistema inercial.
- ▶ La orientación de los rotores puede controlarse para producir tres modos independientes de movimiento rotacional: **alabeo (roll)**, **cabeceo (pitch)** y **guiñada (yaw)**.
- ▶ La **actitud** se describe mediante una matriz  $R \in SO(3)$ .

En conjunto, el **espacio de configuraciones** se describe mediante el **Grupo Euclídeo Especial**:

$$SE(3) \cong \underbrace{SO(3)}_{\text{actitud}} \times \underbrace{\mathbb{R}^3}_{\text{posición}} .$$

# Ángulos de rotación: *roll*, *pitch* y *yaw*

## Descripción

La orientación (**actitud**) de un drone puede describirse mediante tres rotaciones sucesivas del cuerpo respecto al sistema inercial:

- ▶ **Alabeo (roll)  $\phi$** : rotación alrededor del eje  $x$  del cuerpo. Controla la inclinación lateral (derecha–izquierda).
- ▶ **Cabeceo (pitch)  $\theta$** : rotación alrededor del eje  $y$  del cuerpo. Controla la inclinación hacia adelante o atrás.
- ▶ **Guiñada (yaw)  $\psi$** : rotación alrededor del eje  $z$  del cuerpo. Controla la orientación horizontal (rumbo o dirección).

# Ángulos de rotación: *roll*, *pitch* y *yaw*

## Descripción

La orientación (**actitud**) de un drone puede describirse mediante tres rotaciones sucesivas del cuerpo respecto al sistema inercial:

- ▶ **Alabeo (roll)  $\phi$** : rotación alrededor del eje  $x$  del cuerpo. Controla la inclinación lateral (derecha–izquierda).
- ▶ **Cabeceo (pitch)  $\theta$** : rotación alrededor del eje  $y$  del cuerpo. Controla la inclinación hacia adelante o atrás.
- ▶ **Guiñada (yaw)  $\psi$** : rotación alrededor del eje  $z$  del cuerpo. Controla la orientación horizontal (rumbo o dirección).

## Composición de las rotaciones

La matriz de rotación total se obtiene como:

$$R = R_z(\psi) R_y(\theta) R_x(\phi),$$

donde cada  $R_i$  es una rotación elemental en torno al eje correspondiente.

*Estos tres ángulos determinan completamente la actitud del drone.*

## Dinámica de un quadrotor en $SE(3)$ (modelo estándar)

**Estados:** posición  $x \in \mathbb{R}^3$ , velocidad  $v \in \mathbb{R}^3$ , actitud  $R \in SO(3)$ , velocidad angular  $\Omega \in \mathbb{R}^3$ .

**Entradas:** empuje total  $f \in \mathbb{R}$  (a lo largo de  $b_3 := Re_3$ ) y torques  $\tau \in \mathbb{R}^3$ .

**Ecuaciones en  $SE(3)$ :**

$$\dot{x} = v, \quad m \dot{v} = mg e_3 - f Re_3,$$

$$\dot{R} = R \widehat{\Omega}, \quad J \dot{\Omega} + \Omega \times (J\Omega) = \tau,$$

donde  $m > 0$ ,  $J = J^\top \succ 0$ ,  $g > 0$ ,  $e_3 = (0, 0, 1)^\top$ .

**Comentario:** El sistema es *bajo-actuado*: el empuje es escalar y siempre en la dirección  $b_3 = Re_3$ , mientras la actitud sí es totalmente actuada.

# Seguimiento de posición: construcción de la actitud deseada

## Errores de traslación:

$$e_x := x - x_d, \quad e_v := v - \dot{x}_d.$$

## Vector de empuje deseado (pre-normalizado):

$$F_d := -k_x e_x - k_v e_v + mg e_3 - m \ddot{x}_d, \quad k_x, k_v \succ 0.$$

## Dirección deseada de $b_3$ :

$$b_{3c} := \frac{F_d}{\|F_d\|} \quad (\text{si } \|F_d\| > 0).$$

## Ángulo de guiñada (yaw) deseado: $\psi_d$ y su eje

$$b_{1d} := [\cos \psi_d, \sin \psi_d, 0]^\top.$$

## Construcción de la base $R_c = [b_{1c} \ b_{2c} \ b_{3c}] \in SO(3)$ :

$$b_{2c} := \frac{b_{3c} \times b_{1d}}{\|b_{3c} \times b_{1d}\|}, \quad b_{1c} := b_{2c} \times b_{3c}.$$

Así se define la *actitud de referencia*  $R_c$  coherente con la tarea de posición y el yaw deseado.

# Control geométrico (PD + *feedforward*) en $SE(3)$

**Errores de actitud y velocidad angular:**

$$e_R := \frac{1}{2} (R_c^\top R - R^\top R_c)^\vee, \quad e_\Omega := \Omega - R^\top R_c \Omega_c,$$

donde  $\Omega_c$  se obtiene de  $\dot{R}_c = R_c \widehat{\Omega}_c$ .

**Empeje (fuerza) de traslación:**

$$f = F_d \cdot (R e_3)$$

que alinea el empuje real con la dirección deseada  $b_{3c}$  y compensa gravedad y términos de seguimiento.

**Torque de actitud:**

$$\tau = -K_R e_R - K_\Omega e_\Omega + \Omega \times (J\Omega) - J \left( \widehat{\Omega} R^\top R_c \Omega_c - R^\top R_c \dot{\Omega}_c \right)$$

con  $K_R, K_\Omega \succ 0$ .

# Análisis de Lyapunov: traslación + rotación

## Parte translacional:

$$V_{\text{tr}} := \frac{1}{2} m \|e_v\|^2 + \frac{1}{2} k_x \|e_x\|^2 \quad \Rightarrow \quad \dot{V}_{\text{tr}} = -k_v \|e_v\|^2 + \underbrace{(Re_3 - b_{3c}) \cdot (\dots)}_{\text{acopl. actitud}}.$$

## Parte rotacional (función de configuración):

$$\Psi(R, R_c) := \frac{1}{2} \text{tr}(I - R_c^\top R) \in [0, 2], \quad V_{\text{rot}} := \frac{1}{2} e_\Omega^\top J e_\Omega + k_R \Psi(R, R_c).$$

$$\dot{V}_{\text{rot}} = -e_\Omega^\top K_\Omega e_\Omega \quad (\text{bajo la ley de torque dada}).$$

## Lyapunov total:

$$V := V_{\text{tr}} + V_{\text{rot}} \quad \Rightarrow \quad \dot{V} \leq -k_v \|e_v\|^2 - e_\Omega^\top K_\Omega e_\Omega,$$

y mediante invarianza de LaSalle y acotación estándar del acoplamiento, se obtiene **convergencia asintótica** de  $(e_x, e_v, e_R, e_\Omega)$  a cero en una región grande; por topología de  $SO(3)$ , la estabilización continua es *casi global*.

# Conclusiones de la Clase

## 1. Mecánica geométrica como lenguaje unificador

- ▶ La dinámica de robots, satélites y drones se formula mejor sobre variedades ( $S^1$ ,  $SO(3)$ ,  $SE(3)$ ).
- ▶ El lagrangiano y la métrica inducida permiten entender fuerzas, geometría y simetrías.

## 2. Control no lineal basado en estructura

- ▶ El PD con compensación explota la estructura Lagrangiana.
- ▶ Lyapunov + LaSalle garantiza estabilidad (y exponencialidad bajo cotas).

## 3. Control geométrico en actitud

- ▶ En  $SO(3)$  no existe estabilización global continua (topología:  $SO(3) \simeq \mathbb{RP}^3$ ).
- ▶ La estabilidad es **casi global**.
- ▶ Cuaterniones ( $S^3$ ) permiten diseños globales a nivel de representación.

## 4. Aplicación a drones en $SE(3)$

- ▶ El control translacional y de actitud se integran de forma coherente con la geometría del sistema.
- ▶ El diseño PD+feedforward en  $SE(3)$  garantiza seguimiento estable y robusto.